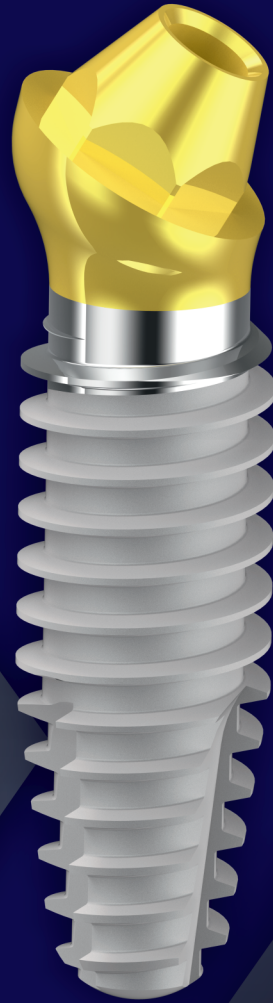



RESISTA®

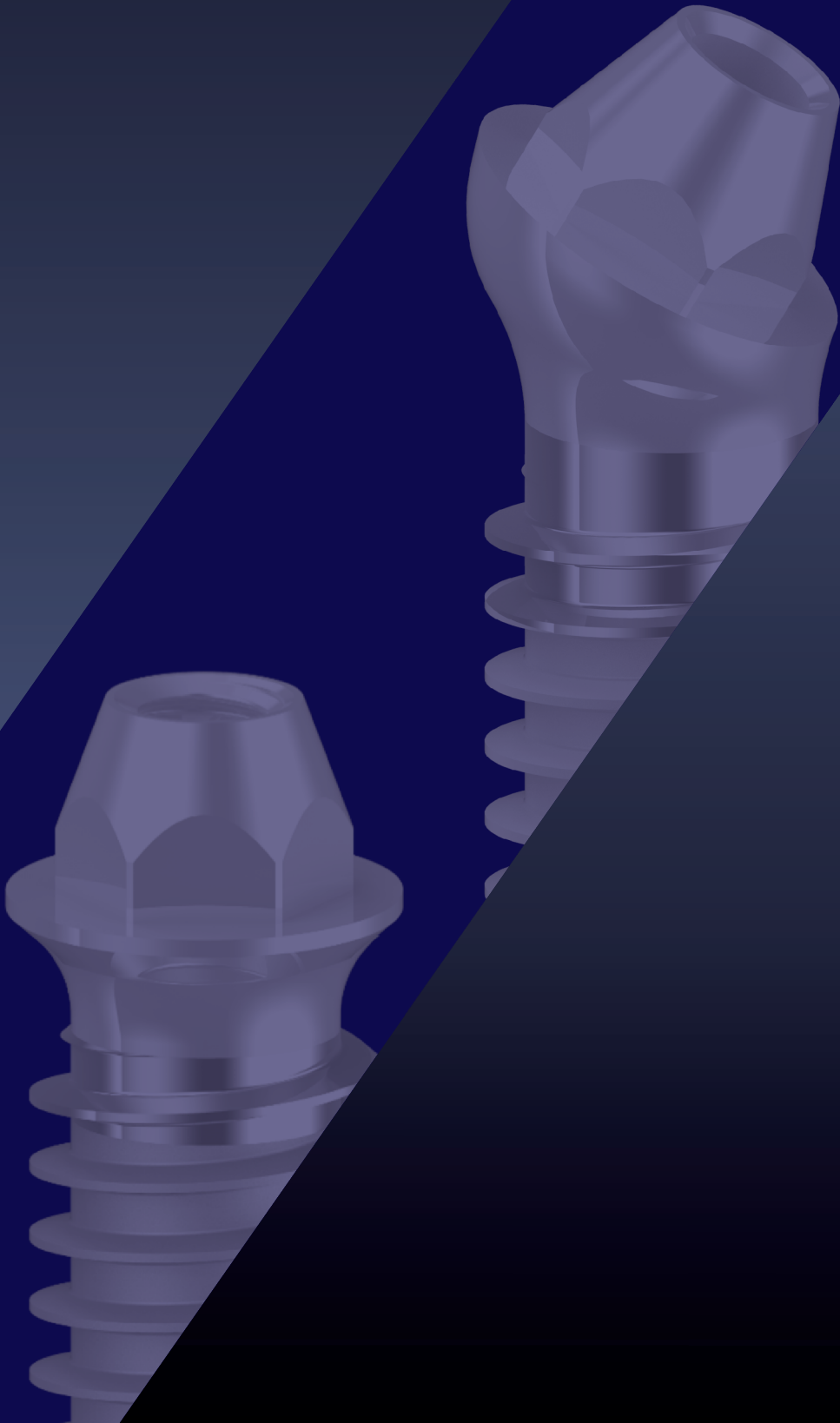
www.resista.it



0° 17° 32°

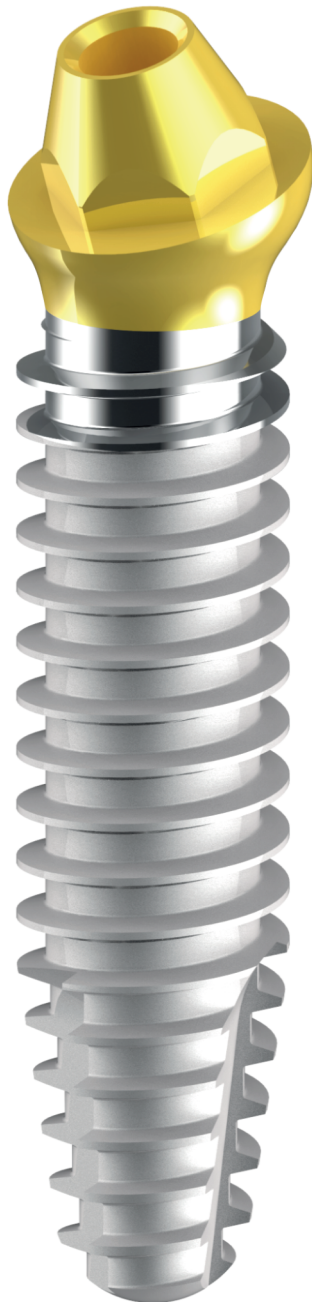
UNI-Q-MUA

2026



UNI-Q-MUA

3 Trattamenti di Superficie Differenziati per la Gestione dei Tessuti



PVD TiN

Bone healing around titanium and titanium nitride-coated dental implants with three surfaces: an experimental study in rats. Scarano A, Piattelli M, Vrespa G, Petrone G, Iezzi G, Piattelli A. - Clin Implant Dent Relat Res. 2003

Bacterial adhesion on titanium nitride-coated and uncoated implants: an in vivo human study. Scarano A, Piattelli M, Vrespa G, Caputi S, Piattelli A. - J Oral Implant. 2003

Cytocompatibility of implants coated with titanium nitride and zirconium nitride. Prachar P, Bartakova S, Brezina V, Cvrcek L, Vanek J. - Bratisl Lek Listy. 2015

Evaluation of antibacterial activity and osteoblast-like cell viability of TiN, ZrN and (Ti1-xZrx)N coating on titanium. Ji MK, Park SW, Lee K, Kang IC, Yun KD, Kim HS, Lim Hp. - J Adv Prosthodont. 2015

Surface properties correlated with the human gingival fibroblasts attachment on various materials for implant abutments: a multiple regression analysis. Kim YS1, Shin SY, Moon SK, Yang SM. - Acta Odontol Scand. 2015



Machined

Machined and sandblasted human dental implants retrieved after 5 years: a histologic and histomorphometric analysis of three cases. Iezzi G, Vantaggiato G, Shibli JA, Fiera E, Falco A, Piattelli A, Perrotti V. - Quintessence Int. 2012

Polyspecies biofilm formation on implant surfaces with different surface characteristics. Schmidlin PR, Müller P, Attin T, Wieland M, Hofer D, Guggenheim B. - J Appl Oral Sci. 2013

Red blood cell and platelet interactions with titanium implant surfaces. Park JY, Davies JE. - Clin Oral Implants Res. 2000

Surface chemistry effects of topographic modification of titanium dental implant surfaces. 2: In vitro experiments. Morra M, Cassinelli C, Bruzzone G, et al. - Int J Oral and Maxillofac Implants 2003

Surface microtopography regulates osteointegration: the role of implant surface microtopography in osteointegration. Schwartz Z1, Nasazky E, Boyan BD. - 2005

A new chemical etching process to improve endosseous implant osseointegration: in vitro evaluation on human osteoblast-like cells. Giordano C, Sandrini E, Busini V, Chiesa R, Fumagalli G, Giavaresi G, Fini M, Giardino R, Cigada A. - Int J Artif Organs. 2006

Enhancing surface free energy and hydrophilicity through chemical modification of microstructured titanium implant surfaces. Morra M, Volpe CD, Siboni S, by F. Rupp, L. Scheideler, N. Olshanska, M. de Wild, M. Wieland, J. Geis-Gerstorfer. - J Biomed Mater Res A. 2006

Assessing double Acid-etched implants submitted to orthodontic forces and used as prosthetic anchorages in partially edentulous patients. De Cravero Marta R1, Carlos IJ. - Open Dent J. 2008.

Mechanical stability of immediately loaded implants with various surfaces and designs: a pilot study in dogs. Neugebauer J, Weinländer M, Lekovic V, von Berg KH, Zoeller JE. Int J Oral Maxillofac Implants. 2009

Influence of implant shape, surface morphology, surgical technique and bone quality on the primary stability of dental implants. Elias CN1, Rocha FA, Nascimento AL, Coelho PG. - J Mech Behav Biomed Mater. 2012

Early-loaded laser-sintered versus acid-etched one-piece dental implants for mandibular premolars replacement: a preliminary study. El-Gammal M1, Ghoneem N, Tawfik H, Madina MA, Fadhil ON, Maria OM. Implant Dent. 2014

Dual-etched implants loaded after 1- and 2-month healing periods: a histologic comparison in baboons. Vernino AR, Kohles SS, Holt RA Jr, Lee HM, Caudill RF, Kenealy JN. Int J Periodontics Restorative Dent 2002

Early endosseous integration enhanced by dual acid etching of titanium: a torque removal study in the rabbit. Klokkevold P, Johnson P, Dadgostari S, Caputo A, Davies JE, Nishimura R. Clin Oral Implants Res 2001



DAE



DAE

3 TRATTAMENTI DI SUPERFICIE

1) Rivestimento transgingivale e protesico in PVD TiN - *Maggiore resistenza meccanica all'usura, proprietà antibatteriche, riduzione dell'adesione del biofilm batterico.*

2) Superficie Ibrida Macchinata per 1.5mm - *Riduzione dell'adesione del biofilm batterico per il controllo delle perimplantiti.*

3) Superficie Doppia Acidificazione DAE - *Incremento della superficie, rimozione dei microdifetti ed uniformazione, incremento dell'idrofilia superficiale, incremento dell'adesione dei ponti di fibrina, idealizzazione del substrato per l'adesione cellulare, attivazione della comunicazione topografica per l'espressione genica cellulare/osteoblastica, incremento dell'attività antibatterica bio-elettrica.*

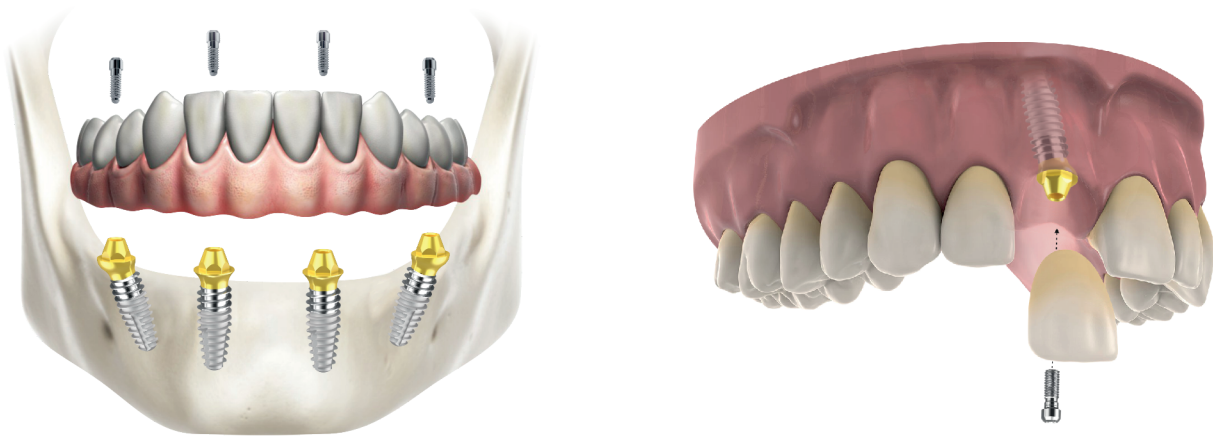
The Bacterial Anti-Adhesive Activity of Double-Etched Titanium (DAE) as a Dental Implant Surface

Morena Petrini, Alessandra Giuliani, Emanuela Di Campli, Silvia Di Lodovico, Giovanna Iezzi, Adriano Piattelli and Simonetta D'Ercole¹

International Journal of Molecular Sciences 2020, 21, 8315; doi:10.3390/ijms21218315

UNI-Q-MUA

Impianto Monofasico per Protesi Avvitata: Toronto, Ponti e Corone



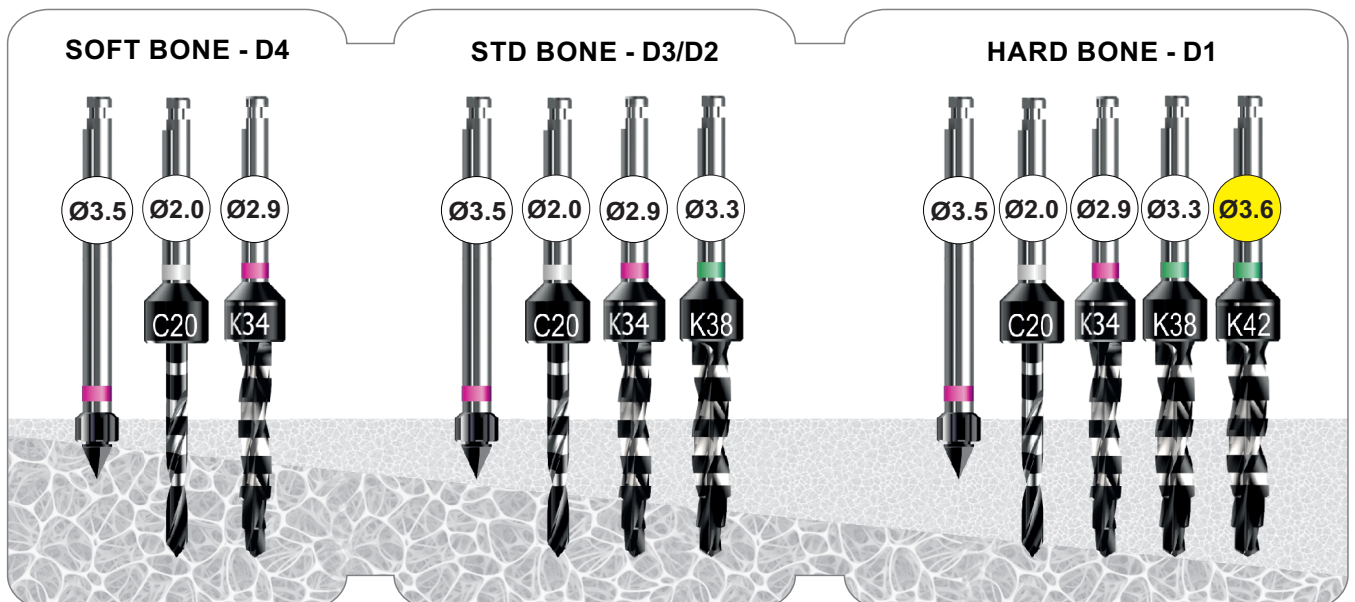
UNI-Q-MUA 2.0 è l'evoluzione del progetto originale UNI-Q-MUA del 2015, sviluppato e migliorato dal nostro reparto di R&D per un applicazione chirurgica a 360°.

Nato per la realizzazione e semplificazione della protesi tipo Toronto, allarga il suo campo di applicazione alle corone e ponti. Con un collo trans-gengivale di 1,5mm ed una piattaforma protesica anti-rotazionale esagonale, permette il serraggio diretto anche di una singola corona avvitata.

Disponibile in 3 diametri, con 3 angolazioni 0° - 17° - 30° ed 1 piattaforma protesica unificata.

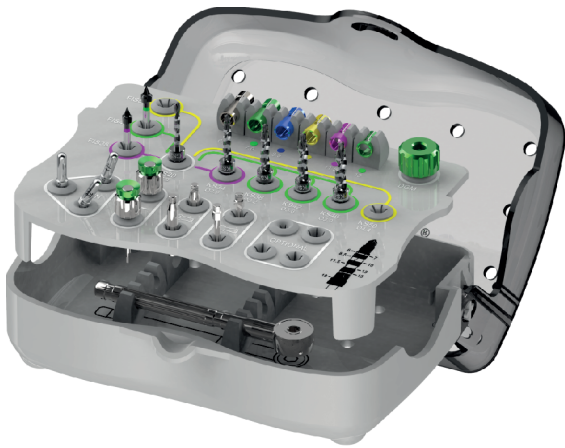


ESEMPIO DI SEQUENZA CHIRURGICA STANDARD PER UNI-Q-MUA Ø 3.8

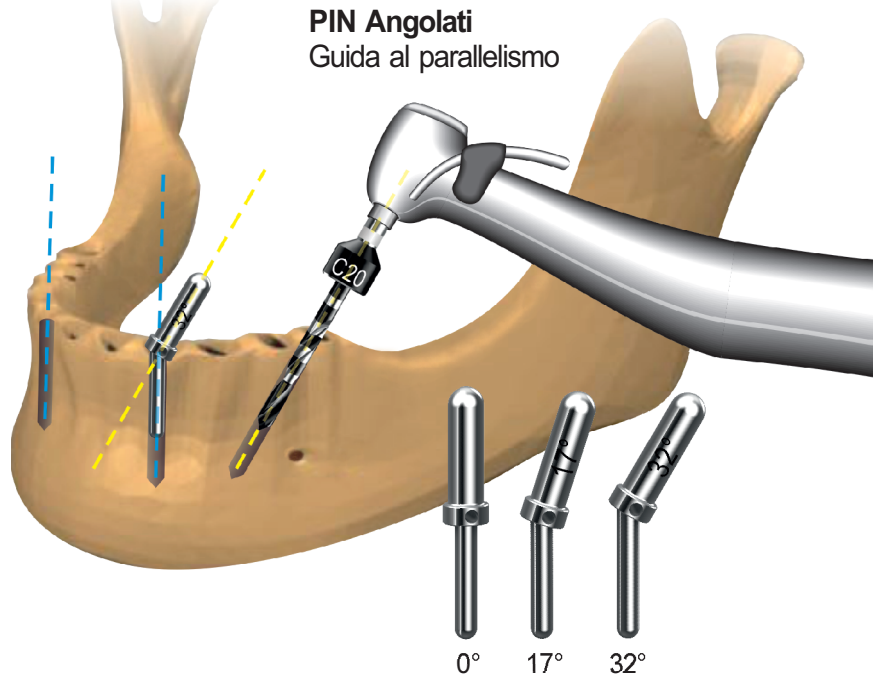


UNI-Q-MUA

Approccio Chirurgico Facilitato



Kit Chirurgico UNI-Q-MUA
STD Implementabile

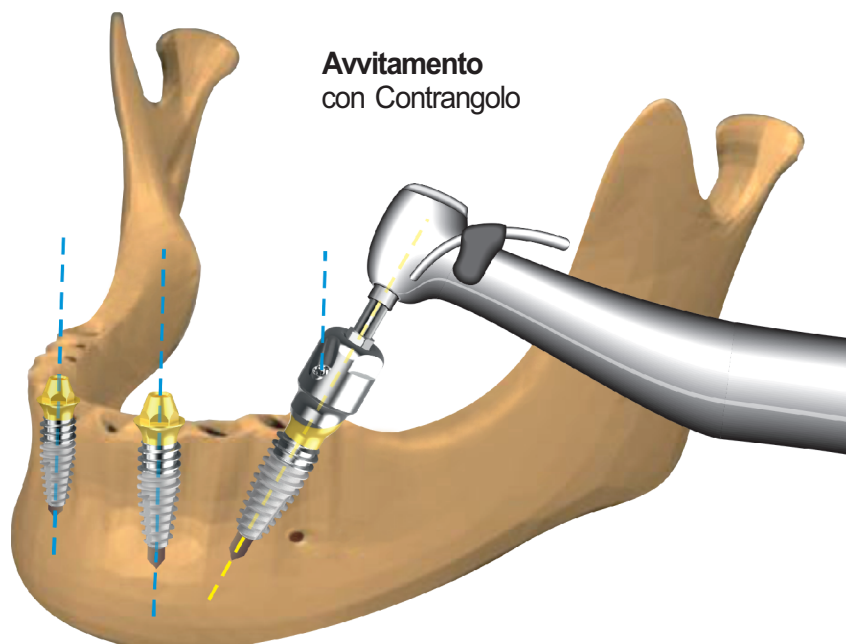
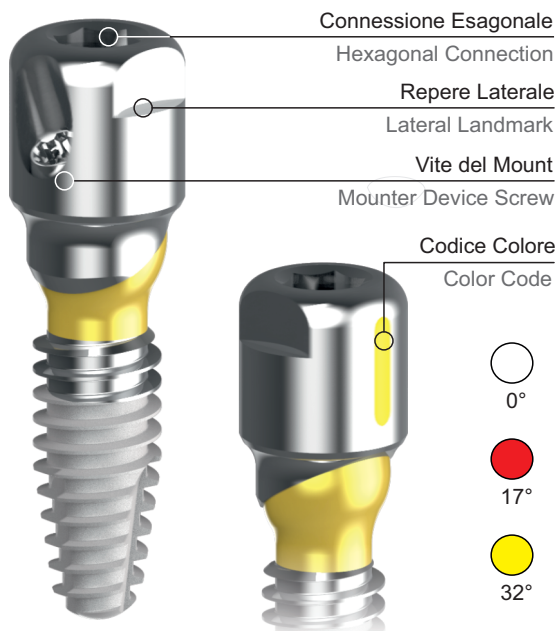


UNI-Q-MUA 2.0

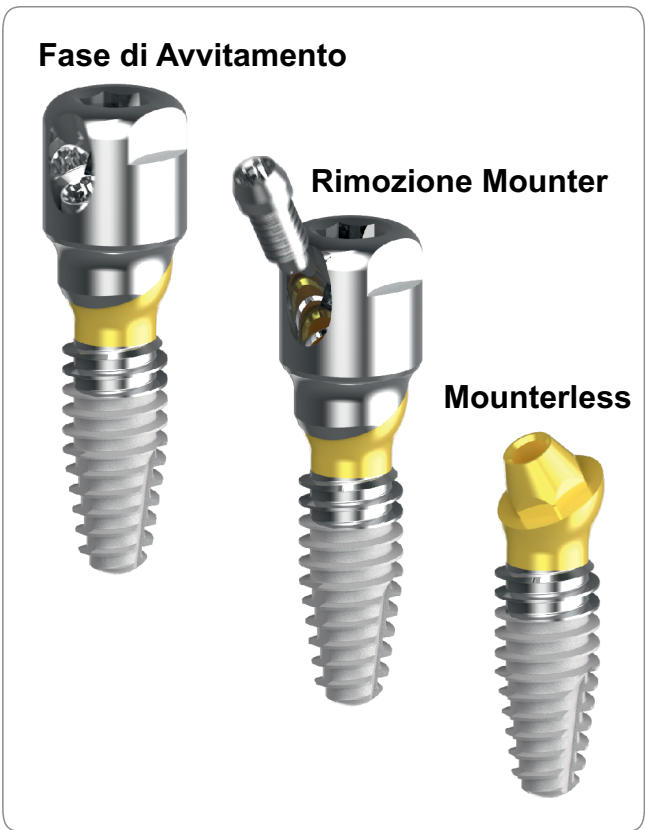
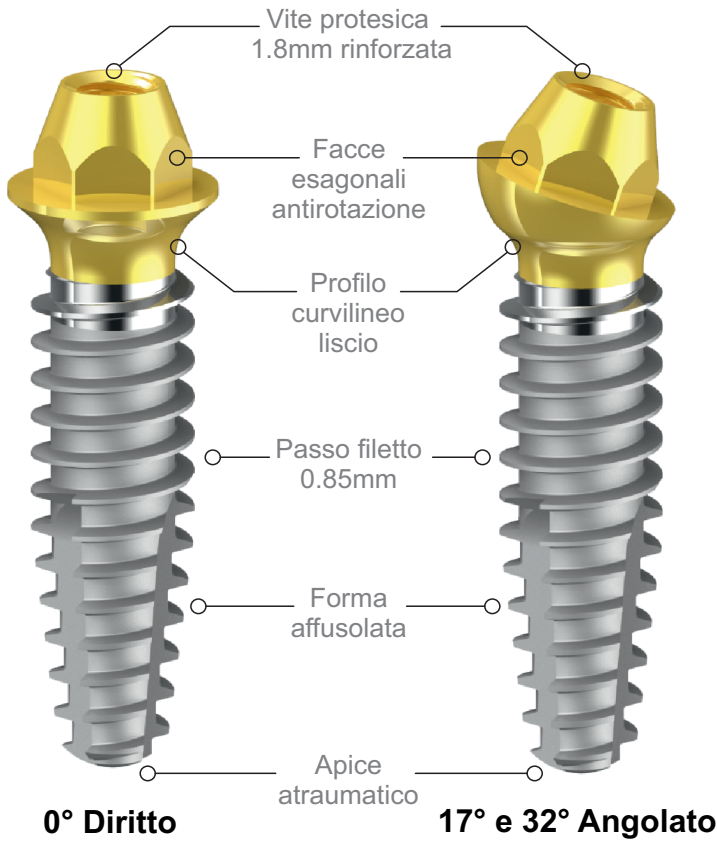
I perni di parallelismo preangolati **PIN** trovano la loro applicazione durante l'atto chirurgico, sia per la scelta dell'impianto sia come guida chirurgica.

VPS è la soluzione per il posizionamento finale dell'impianto nella correzione fine dell'orientamento. Dopo la scomparsa dell'ultima spira del filetto, durante l'avvitamento, UNI-Q-MUA permette un ulteriore giro completo di affondamento più 180° di correzione fine.

Il Mounter preassemblato di UNI-Q-MUA è un capolavoro di ingegneria meccanica e bio-logica. Con un ingombro transgingivale minimizzato e 4 reperi di riferimento spaziale, semplifica le fasi di posizionamento finale nello spazio visivo 3D



CARATTERISTICHE TECNICHE



DIAMETRI E LUNGHEZZE

Ø3.4



Diritto 0° Half Treatment - With Moulder

8.5mm - 10.0mm - 11.5mm - 13.0mm

Angolato 17° Half Treatment - With Moulder

8.5mm - 10.0mm - 11.5mm - 13.0mm - 15.0mm

Angolato 32° Half Treatment - With Moulder

8.5mm - 10.0mm - 11.5mm - 13.0mm - 15.0mm

Ø3.8



Diritto 0° Half Treatment - With Moulder

8.5mm - 10.0mm - 11.5mm - 13.0mm

Angolato 17° Half Treatment - With Moulder

8.5mm - 10.0mm - 11.5mm - 13.0mm - 15.0mm - 18.0mm - 20.0mm - 22.0mm

Angolato 32° Half Treatment - With Moulder

8.5mm - 10.0mm - 11.5mm - 13.0mm - 15.0mm - 18.0mm - 20.0mm - 22.0mm

Ø4.3



Diritto 0° Half Treatment - With Moulder

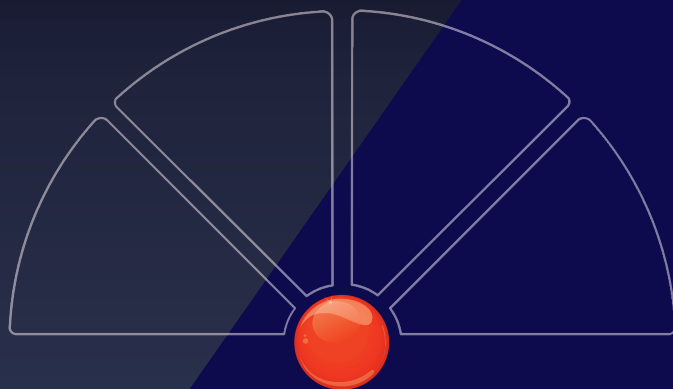
8.5mm - 10.0mm - 11.5mm - 13.0mm

Angolato 17° Half Treatment - With Moulder

8.5mm - 10.0mm - 11.5mm - 13.0mm - 15.0mm

Angolato 32° Half Treatment - With Moulder

8.5mm - 10.0mm - 11.5mm - 13.0mm - 15.0mm



Ing. Carlo Alberto Issoglio & C. S.r.l.

Via F.lli Di Dio, 68 - 28887 Omegna (VB)

ITALY

Tel. +39.0323.828.004 - info@resista.it

14, Rue Emile Guillaumin - 03430 Villefranche d'Allier

FRANCE

Tel +33.04.70.02.03.03 - issoglio@free.fr

230, Log Bt A1 Shaoula - 16000 Alger

ALGERIE

Tel. +213.61.51.11.83 - amirdz@resista.it

136A, Strada Mihail Sebastian - Bucuresti, Sector 5

ROMANIA

Tel. +(40) 768.977.118 - office@resista.ro


RESISTA[®]

Ing. C. A. Issoglio & C. S.r.l.
Via F.lli Di Dio, 68 - 28887 Omegna (VB) - ITALIA
Tel. +39.0323.828.004 - Fax +39.0323.828.914
www.resista.it - info@resista.it



REV 01 - 04 2026